

## ارزیابی میزان آلودگی فلزات سنگین در غبار برخی جاده‌های کرج

فرشته دست‌گشاده<sup>۱</sup>، امید رضا توفی<sup>۲</sup>، سیما مقدم شیخ‌جان<sup>۳</sup>، گیتی تقی‌نژاد<sup>۴</sup>، نرگس همتیان<sup>۵</sup>، رقیه حاتمی<sup>۶</sup>

۱. کارشناس ارشد شیمی تجزیه، رئیس اداره امور آزمایشگاه‌ها، اداره کل حفاظت محیط‌زیست استان البرز

۲. کارشناس ارشد اقتصاد محیط‌زیست، رئیس اداره نظارت و پیش، اداره کل حفاظت محیط‌زیست استان البرز

uko\_ariaee@yahoo.co

۳. کارشناس ارشد مهندسی کشاورزی، کارشناس اداره امور آزمایشگاه‌ها، اداره کل حفاظت محیط‌زیست استان البرز

sima\_irany@yahoo.com

۴. کارشناس ارشد شیمی کاربردی، کارشناس اداره امور آزمایشگاه‌ها، اداره کل حفاظت محیط‌زیست استان البرز

gity\_taghinezhad@yahoo.com

۵. کارشناس شیمی کاربردی، کارشناس اداره امور آزمایشگاه‌ها، اداره کل حفاظت محیط‌زیست استان البرز

narges.hematian@gmail.com

۶. کارشناس آلودگی محیط‌زیست، کارشناس مسئول اداره امور آزمایشگاه‌ها، اداره کل حفاظت محیط‌زیست استان البرز

hatami\_683@yahoo.com

تاریخ پذیرش مقاله: ۱۳۹۲/۱۱/۳۰

تاریخ وصول مقاله: ۱۳۹۲/۸/۱۱

### چکیده

با رشد سریع شهرنشینی، صنعتی‌شدن شهرها و افزایش انتشار آلودگی از وسایل نقلیه، بحران آلودگی هوا یکی از مشکلات اکولوژیکی شدید در مقیاس جهانی است. با توجه به سهم آلودگی گرد و غبار در افزایش آلودگی هوا، غبار را سبب شده در اطراف جاده‌ها و خیابان‌های سطح شهر بهمنزله یکی از عوامل ارزیابی میزان آلودگی هوای شهری بررسی شد. با توجه به رشد جمعیت و تردد وسایل نقلیه در کرج و خطرهای ناشی از آلودگی فلزات سنگین برای سلامتی بشر، غلظت فلزات Ni, Cr, Pb, Mn, Cu و Zn در غبار جمع‌آوری شده از ۳ خیابان در سطح کرج اندازه‌گیری شد. نمونه‌های غبار با ابعاد کمتر از ۲۵۰ µm پس از هضم اسیدی در مایکرووبو، از طریق دستگاه جذب اتمی آنالیز شدند. اندازه غلظت فلزات در غبار خیابان‌ها برای هر یک از عناصر عبارت‌اند از: g/g-۶۲۹ μg/g-۴۸ μg/g-۱۹ μg/g-Ni: ۲۲۴ μg/g-Cu: ۸۶ μg/g-Mn: ۰.۹ ۷۸۴ μg/g-Zn: ۲۸۲ ۱۲۱۲ μg/g-Cr: ۴۰ ۱۱۷ μg/g-Pb: ۴۸ μg/g. ارزیابی میزان آلودگی نمونه‌ها مقادیر شاخص ضریب انباشتگی (Igeo)، فاکتور غنی‌شدگی (CF)، فاکتور آلودگی (EF) هر یک از عناصر و شاخص بار آلودگی (PLI) در هر یک از ایستگاه‌ها و میانگین آن در هر جاده محاسبه شد. مقادیر محاسبه شده شاخص زمین انباشتگی و فاکتور غنی‌شدگی نشان می‌دهند میزان فلزات سرب، مس و روی در کلیه جاده‌ها در اثر فعالیت‌های انسانی افزایش یافته‌اند و منشأ طبیعی ندارند. با محاسبه مقادیر فاکتور آلودگی، به طور میانگین بیشترین میزان آلودگی سه عنصر اخیر در جاده کرج-قزوین مشاهده شد. مقادیر محاسبه شده شاخص بار آلودگی (PLI) در هر یک از ایستگاه‌های نمونه‌برداری نشان می‌دهد در مناطق پرترافیک و صنعتی میزان بار آلودگی فلزات سنگین بالاتر است.

### کلیدواژه

آزادراه کرج-قزوین، آلودگی هوا، شاخص ارزیابی، غبار خیابان و فلزات سنگین.

## ۱. سرآغاز

از جاده‌های آسفالت، دست‌اندازها و ساختمان‌سازی، از عوامل تشکیل‌دهنده غبار خیابان‌ها به شمار می‌روند. غبار خیابان یکی از منابع مهم پیدایش و ورود ذرات به اتمسفر و کنترل آن موضوع بحرانی در نواحی شهری و سایر مناطق پرترافیک است. در حال حاضر با روش‌های مکانیکی مانند ماشین آلات جاروب شهری، روغن سبزیجات و اسپری آب می‌توان غبار جاده را سرکوب کرد (Sezgin, et al., 2003; Malkoç, et al., 2010). غبار رسوب کرده بر سطح جاده‌ها برای مدت طولانی به همان صورت باقی نمی‌ماند (Addo, et al., 2009 ; Addo, et al., 2012). این غبار به سادگی به صورت ذرات معلق به اتمسفر باز می‌گردد و مقادیر زیادی از عناصر سنگین را به آن وارد می‌کند (Faiz , et al., 2009; Addo, et al., 2012). غبار حامل فلزات سنگین در نتیجه فرایندهای رسوب گذاری و برخورد بر سطح خاک تجمع می‌کند (Lu, et al., 2009; Li, et al., 2001 ; Sezgin, et al., 2006 ; Sezgin, et al., 2003; Addo, et al., 2012) . به طور کلی تأثیرات بین آلودگی هوا و خاک متقابل است. اتمسفر از طریق رسوب گذاری مقادیر بزرگی از فلزات سنگین را به خاک‌های شهری منتقل می‌کند (Ritter and Rinefierd, 1983; Patel, et al., 2001; Chen, et al., 1997; Addo, et al., 2012).

با توجه به آنکه ذرات غبار به راحتی از طریق جریان هوای جابه‌جا و در سطح شهر پراکنده می‌شوند، پیامد آن آلودگی سطح شهر به این عنصر خطرناک است. در حال حاضر نیز خطرهای ناشی از مواجهه با این عنصر برای عموم افراد جامعه شناخته شده است. عنصر سرب در سیستم عصبی و عروقی افراد تأثیر می‌گذارد. کودکان به علت رشد سریع و متابولیسم بالا نسبت به عنصر سرب آسیب‌پذیری بیشتری دارند و این عنصر در رشد سیستم عصبی آن‌ها اثرگذار است و سبب کاهش ضریب هوشی می‌شود (ATSDR, 2007; Banks ,et al., 1997).

آلودگی هوا امروزه یکی از معضلات اساسی جوامع مدرن است و بالقوه نوعی آلودگی مرگبار تلقی می‌شود. در این زمینه، افزایش میزان آلودگی ناشی از شهرنشینی و رشد انتشارات مربوط به وسایل نقلیه موضوع درخور توجهی است. در میان آلاینده‌ها، آلودگی محیط‌زیست از طریق فلزات سنگین مشکل جهانی است، زیرا این فلزات تخریب‌ناپذیرند و بیشتر آن‌ها در ارگان‌های زنده آثار سمی دارند. با اینکه برخی از فلزات برای انسان ضروری به نظر می‌رسند در مقادیر بالا می‌توانند برای انسان مسمومیت ایجاد کنند (Domingo, 1994; Chang, 1996).

بر اساس بسیاری از بررسی‌های انجام‌شده، منابع آلودگی فلزات سنگین در محیط‌زیست اساساً ناشی از فعالیت‌های انسانی است. منابع فعالیت‌های انسانی فلزات سنگین در خاک‌ها و غبار جاده‌های شهری عبارت‌اند از: انتشارات ناشی از ترافیک، انتشارات صنایع و انتشارات شهری (Sezgin, et al., 2003; Ahmed and Ishiga, 2006; Amato, et al., 2009; Faiz, et al., 2009; Binggan .and Linsheng, 2010).

در سال‌های اخیر مطالعه روی آلودگی هوا به ویژه در محیط‌زیست شهری تا حد زیادی روی غبار راسپشونده در جاده‌ها متمرکز شده است (De Miguel, et al., 1997; Bhargava , et al., 2003; Banerjee, 2003; Turer, 2005; Yongming, et al., 2006; Ahmed and Ishiga , 2006; Shingga, et al., 2010; Lu, et al., 2009; Addo, et al., 2012). غبار خیابان یا ذرات راسپ شده بر سطح جاده‌ها، از برهم کنش مواد جامد، مایع و گاز ناشی از منابع مختلف سرچشمه گرفته است و بالقوه می‌تواند حامل بار آلودگی بالایی از فلزات سنگین و آلاینده‌های آلی باشد (Shingga, et al., 2010; Lu, et al., 2009; Addo, et al., 2012; Al-Khashman, 2007; Banerjee, 2003). غبار خیابان تحت تأثیر وسایل نقلیه سطح جاده‌ها می‌تواند عامل ۳۳ درصد از آلودگی هوا باشد. مواد خارج شده از اگرزو و سایل نقلیه و خروجی صنایع، فرسایش تایرها و لنت ترمزها، غبار ناشی

زنده و به علت آنکه غبار جاده‌ها و خیابان‌ها یکی از منابع آلودگی هوا با فلزات سنگین است، میزان فلزات Mn, Ni, Cr, Pb, Cu و Zn در غبار جمع‌آوری شده از ۳ جاده در سطح کرج اندازه‌گیری شد. جاده ملارد (مسیر پل فردیس- بعد از نیروگاه) و اتوبان کرج- قزوین (مسیر پل فردیس- پل حصارک) به علت مجاورت با صنایع آلینده و تردد بالای وسایل نقلیه بررسی شدند. بلوار آیت‌الله طالقانی (مسیر میدان طالقانی- کوه نور) نیز به علت دوربودن از مناطق صنعتی و کم تردد بودن وسایل نقلیه به منزله منطقه با بار آلودگی پایین برای مقایسه با دو جاده مذکور ارزیابی شد.

### ۳. نمونه‌برداری و آفالیز

برای نمونه‌برداری از غبار حاشیه آسفالت خیابان، ۲۰ ایستگاه تعیین شد. ایستگاه‌ها به گونه‌ای انتخاب شدند که مناطق پرتردد و مجاور ناحیه صنعتی، همچنین مناطقی که فاقد هر دو فعالیت اخیر بودند را شامل می‌شدند. از هر ایستگاه، ۳ نمونه جمع‌آوری شد. نمونه‌های هر ایستگاه به صورت تصادفی از شعاع ۱۰ متری ایستگاه‌های نمونه‌برداری جمع‌آوری شد و یک نمونه ترکیبی (حدود ۵۰ گرم) به دست آمد. در مجموع ۲۰ نمونه ترکیبی، شامل ۱۰ نمونه از اتوبان کرج- قزوین، ۷ نمونه از جاده ملارد و ۳ نمونه از بلوار آیت‌الله طالقانی جمع‌آوری شد. ایستگاه‌های نمونه‌برداری در شکل و جدول ۱ مشخص شده است. ذرات غبار از طریق قلم پلاستیکی جمع‌آوری و در ظروف پلی پروپیلنی دربسته و برچسب زده شده به آزمایشگاه منتقل شدند. نمونه‌ها پس از خشک شدن در آون (دماه ۱۰۵ درجه سانتی گراد) از الک  $250\text{ }\mu\text{m}$  عبور داده شدند. مقدار  $0/4 - 0/35$  گرم از هر نمونه از طریق ۱۰ میلی‌لیتر تیزاب سلطانی در مایکروویو (Milestone Ethos one) هضم و غلظت فلزات Ni, Mn, Pb, Cr و Zn از طریق دستگاه جذب اتمی 240 Varian اندازه‌گیری شد.

می‌باشد نسبت به این مسئله و کاهش این آلودگی در سطح شهر توجه بیشتری شود. تنفس مقادیر بالای کروم نیز سبب بروز مشکلات در مخاط و مجرای بینی، آبریزش بینی و مشکلات تنفسی نظیر آسم، سرف، تنگی نفس و خس خس می‌شود (Martin and Griswold, 2009).

مقدار نیکل در ریه‌ها، حفره بینی، کلیه و کبد کارگرانی که از این عنصر تنفس می‌کنند افزایش می‌یابد (Kollmeier, et al., 1987; Raithel, et al., 1988; Andersen and Svenes, 1989). آسیب‌دیدگی سیستم تنفسی نیز در این افراد مشاهده شده است.

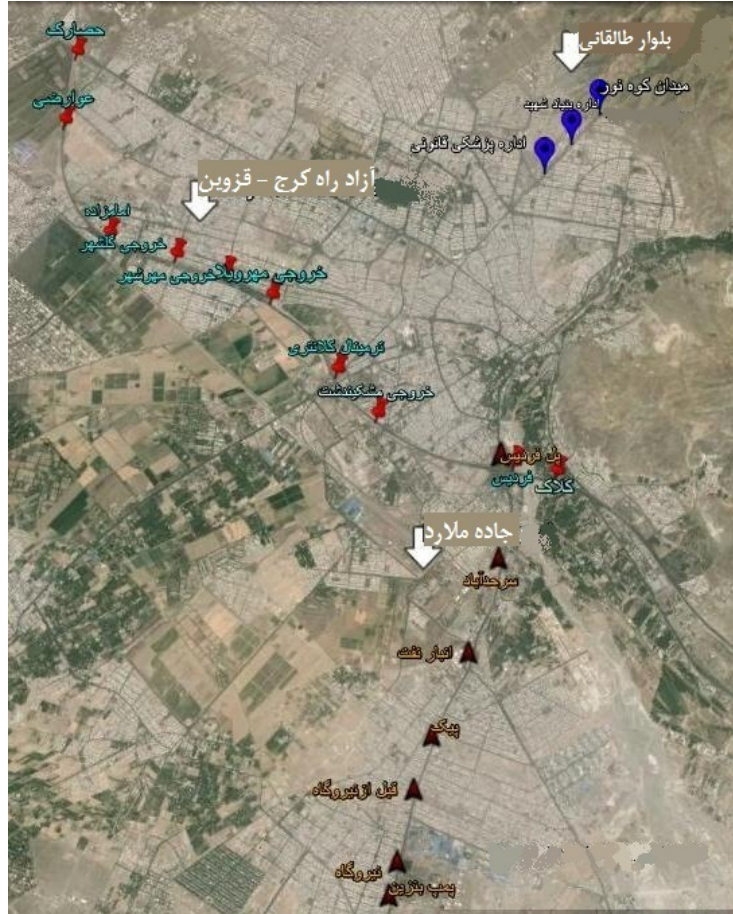
## ۲. مواد و روش‌ها

### ۱.۰۲. منطقه مورد مطالعه

کرج یکی از شهرهای مرکزی و کوهپایه‌ای ایران در دامنه رشته کوه‌های البرز و در بلندای ۱۳۰۰ متری از سطح دریا واقع شده و مرکز استان البرز است. این شهر با مساحتی معادل  $175/4$  کیلومتر مربع و حرمی به وسعت  $178/9$  کیلومتر مربع با طول جغرافیایی  $50$  درجه و  $59$  دقیقه و عرض جغرافیایی  $35$  درجه و  $48$  دقیقه شمالی در  $36$  کیلومتری غرب تهران و در دامنه جنوبی رشته کوه البرز قرار گرفته است. جمعیت این شهر طبق آمار رسمی سال ۱۳۹۰،  $1/930$  میلیون نفر است که از این جهت در حال حاضر پس از شهرهای تهران و مشهد به منزله سومین شهر پرجمعیت ایران به شمار می‌رود. کرج پس از تهران بزرگ‌ترین شهر مهاجرپذیر ایران است. با توجه به جمعیت ساکن در حوزه کرج، همچنین جمعیت شهرک‌های اقماری آن که همه روزه برای اشتغال و دریافت خدمات مختلف در سطح این شهر تردد دارد معابر مرکزی با عبور و مرور سنگین مواجه شده است. امروزه هوای کرج به علت گسترش شهر و تردد زیاد وسایل نقلیه و کارخانه‌ها و شهرک‌های صنعتی رو به آلودگی است به طوری که در زمستان و پاییز، پدیده وارونگی دما کاملاً قابل لمس است. لذا با توجه به خطرهای فلزات سنگین برای موجودات

جدول ۱. ایستگاه‌های نمونه‌برداری

محل نمونه‌برداری	نام ایستگاه	موقعیت جغرافیایی (UTM)
پل فردیس	m1	39S0500291, 3960705
سرحدآباد (قبل از پل)	m2	39S0500484, 3959002
روبه روی انبار نفت (زیر پل بصیرت)	m3	39S0500202, 3957441
پیک (روبه روی اگزوزسازی و سنگفروشی)	m4	39S0499801, 3956059
قبل از نیروگاه	m5	39S0499633, 3955201
مقابل در ورودی نیروگاه	m6	39S0499537, 3954036
پمپ بنزین بعد از نیروگاه	m7	39S0499497, 3953537
جاده ملارد	k1	39S0501195, 3960678
پل کلاک	k2	39S0500478, 3960736
زیر پل فردیس	k3	39S0498071, 3961284
خروجی مشکین دشت	k4	39S0497307, 3961942
ترمینال کلانتری	k5	39S0495971, 3963112
خروجی مهردیلا	k6	39S0495131, 3963410
خروجی فاز ۴ مهرشهر	k7	39S0494214, 3963618
خروجی گلشهر	k8	39S0493022, 3963883
اما مزاده طاهر	k9	39S0491831, 3965804
عوارضی	k10	39S0491819, 3967089
آزاد راه کرج - قزوین	T1	39S0501160, 3967046
میدان کوه نور (قبل از کوهپایه)	T2	39S0500744, 3966490
روبه روی اداره کل بنیاد شهید	T3	39S0500346, 3965943
جاده طالقانی		قبل از میدان طالقانی (روبه روی اداره کل پژوهشی قانونی)



شکل ۱. ایستگاه‌های نمونه‌برداری

برای ارزیابی میزان آلودگی خاک و رسوب معیارهای مختلفی وجود دارد. در این تحقیق میزان آلودگی غبار جاده‌ها با استفاده از محاسبه ضریب زمین اباشتگی Igeo، فاکتور غنی شدگی EF، فاکتور آلودگی CF و شاخص بار آلودگی PLI ارزیابی شد.

نتایج محاسبه شاخص زمین اباشتگی و فاکتور غنی شدگی در شکل‌های ۲ و ۳ نشان داده شده است. میزان آلودگی هر عنصر برای هر سه جاده از طریق فاکتور آلودگی (شکل ۴) و میزان بار آلودگی هر ایستگاه از طریق شاخص بار آلودگی (شکل ۵) محاسبه شد.

#### ۴. ارزیابی و بررسی نتایج

##### ۱.۴. نتایج آنالیز

جدول ۲ مقادیر ماکزیمم، مینیمم، میانگین و میانه عناصر مورد آنالیز در نمونه‌های غبار سه جاده را نشان می‌دهد. بیشترین میزان سرب، روی و مس در جاده کرج- قزوین و بیشترین مقدار کروم و نیکل در جاده ملارد اندازه‌گیری شد. بر اساس نتایج محاسبه شده اندازه غلظت فلزات در غبار خیابان‌ها برای هر یک از عناصر عبارت‌اند از:  $\text{Cu}: ۸۶ - ۷۸۴ \mu\text{g/g}$ ,  $\text{Pb}: ۴۸ - ۷۸۴ \mu\text{g/g}$ ,  $\text{Ni}: ۱۹ - ۲۲۴ \mu\text{g/g}$ ,  $\text{Cr}: ۴۰ - ۱۱۷ \mu\text{g/g}$ ,  $\text{Mn}: ۶۰۹ - ۱۲۱۲ \mu\text{g/g}$ ,  $\text{Zn}: ۲۸۲ - ۶۳۷ \mu\text{g/g}$ .

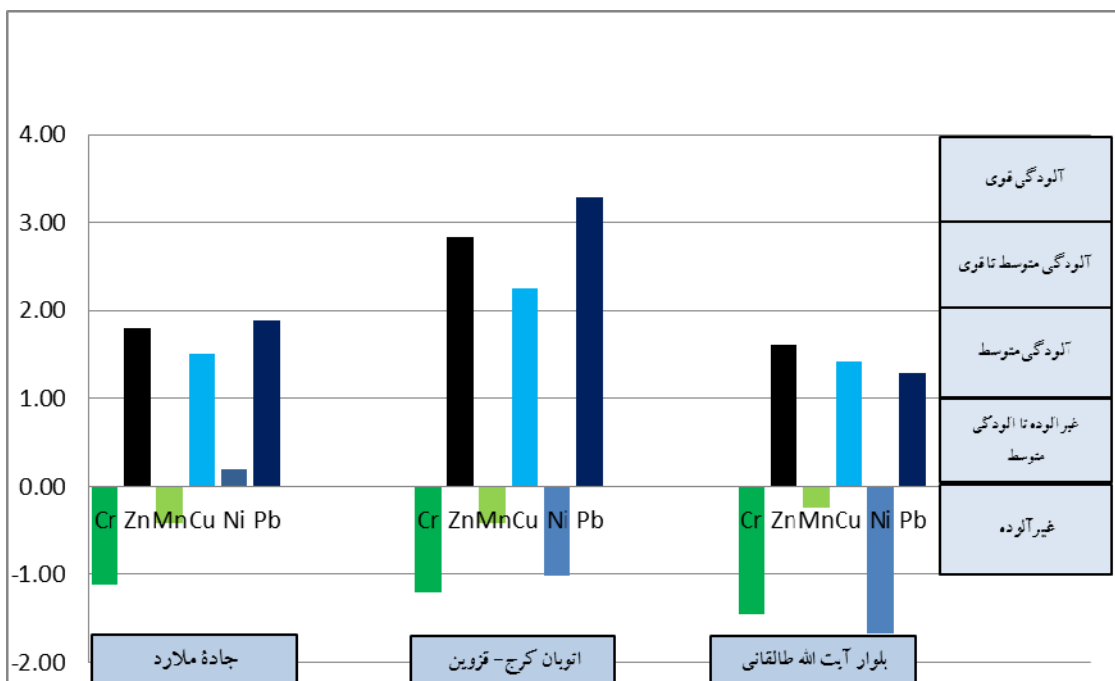
نتایج به دست آمده برای میانگین غلظت فلزات سنگین در چند شهر معروف جهان با نتایج این مقاله مقایسه و در جدول ۳ ارائه شده است.

جدول ۲. مقادیر آماری فلزات سنگین در جاده‌ها

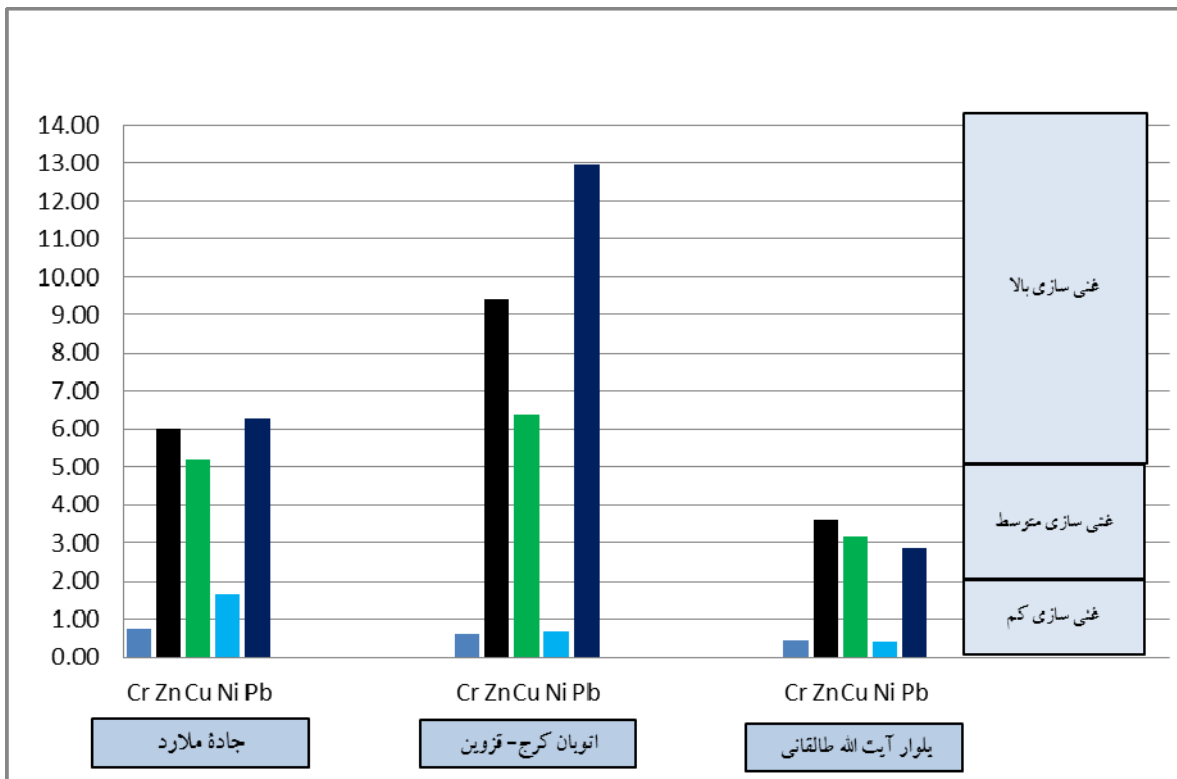
غلظت فلزات $\mu\text{g/g}$						شاخص آماری	نام جاده
Cr	Zn	Mn	Cu	Ni	Pb		
۱۱۷	۶۳۷	۷۰۳	۱۷۴	۲۲۴	۱۸۷	max	جاده ملارد
۵۳	۲۸۲	۶۰۹	۱۰۱	۳۰	۹۴	min	
۶۱	۴۶۱	۶۶۹	۱۶۲	۶۶	۱۰۴	median	
۶۹	۴۷۲	۶۶۵	۱۴۴	۸۱	۱۱۸	mean	
۶۳	۱۲۱۲	۷۷۵	۲۷۱	۴۱	۶۲۹	max	اتوبان کرج-
۴۸	۵۰۶	۶۱۸	۸۶	۲۴	۹۵	min	
۵۵	۷۱۳	۶۶۴	۱۷۴	۳۱	۱۸۲	median	
۵۶	۷۵۲	۶۷۴	۱۷۹	۳۲	۲۴۷	mean	
۵۰	۳۹۴	۷۸۴	۱۰۷	۲۲	۸۲	max	بلوار آیت الله طالقانی
۴۰	۲۸۴	۷۴۴	۹۲	۱۹	۴۸	min	
۵۰	۲۹۴	۷۴۹	۱۰۲	۲۲	۵۵	median	
۴۶	۳۲۴	۷۰۹	۱۰۰	۲۱	۶۲	mean	
۸۵	۷۱	۶۰۰	۲۵	۴۴	۱۷	میانگین غلظت در پوسته زمین	

جدول ۳. مقایسه غلظت فلزات سنگین در غبار خیابان‌های چند شهر جهان با نتایج به دست آمده برای کرج

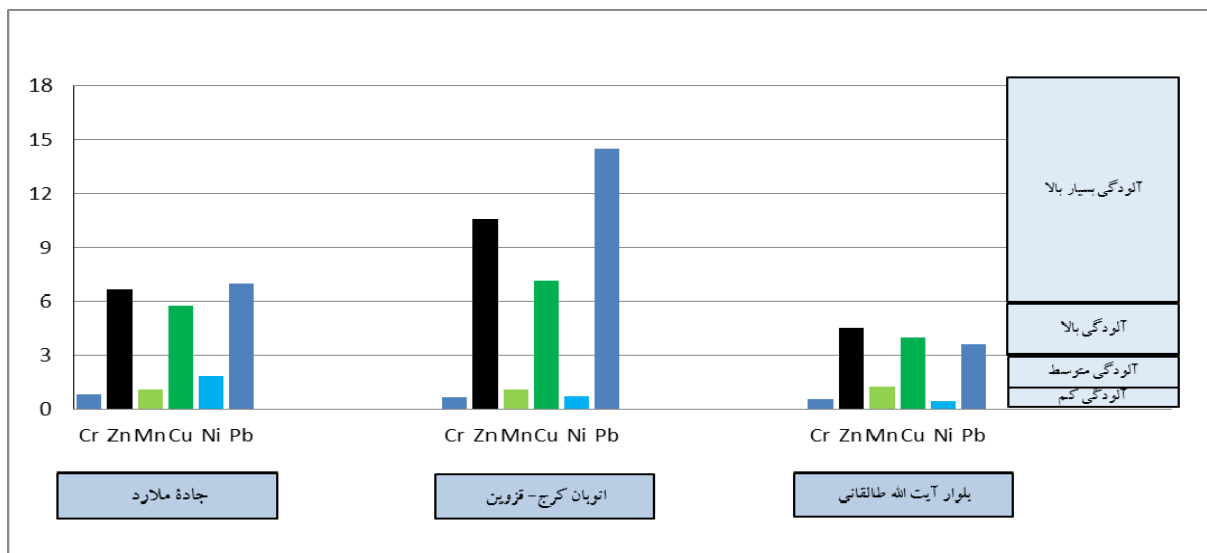
Cr	Cu	Mn	Ni	Pb	Zn	مرجع	شهر
۵۴	۴۴	-	۴۲	۵۳۶	۱۵۹	1999 Chatterjee and Banerjee ,	کلکته
-	۰۲	-	۲۳	۱۰۴	۱۱۶	Faiz et al., 2009	اسلام‌آباد
۱۰۳	۹۰/۸	-	-	۱۲۲۳	۷۱۶	Fergusson, et al., 1986	نیوزیلند
-	۱۷۷	-	۸۸	۲۳۶	۳۵۸	Al-Khashman , 2007	عمان
-	۳۰۴	-	۵۴	۲۰۵	۱۶۹	Ahmed and Ishiga, 2006	دکا
-	۱۲۳	۸۳۰	۴۱	۱۸۰	۴۱۲	De Miguel, et al., 1997	اسلو
-	۶۵/۸	۴۳۱/۵	۱۵/۲	۳۹/۱	۱۱۲/۵	Rasmussen, et al., 2001	اتوا
-	۱۱۰	۵۹۴	۲۸/۶	۱۲۰	۳۸۴۰	, 2003.Yeung, et al	هنگ‌کنگ
۱۵۹/۳	۱۹۶/۸	-	۸۳/۹	۲۹۴/۹	۷۳۳/۸	Shi, et al., 2008	شانگ‌های
۲۶	۴۲	-	۱۰	۳۱۵	۳۱۷	Ordonez, et al., 2003	لوآندا
۷۴۴	۶۰/۵	۵۶۴/۴	۷۳/۴	۲۲/۹	۱۳۳/۵	Addo, et al., 2012	منطقه جنوبی Ketu در کشور غنا
۵۷	۱۴۱	۶۹۹/۳	۴۴/۶	۱۴۲/۳	۵۱۶	کرج- تحقیق انجام شده در این مقاله	



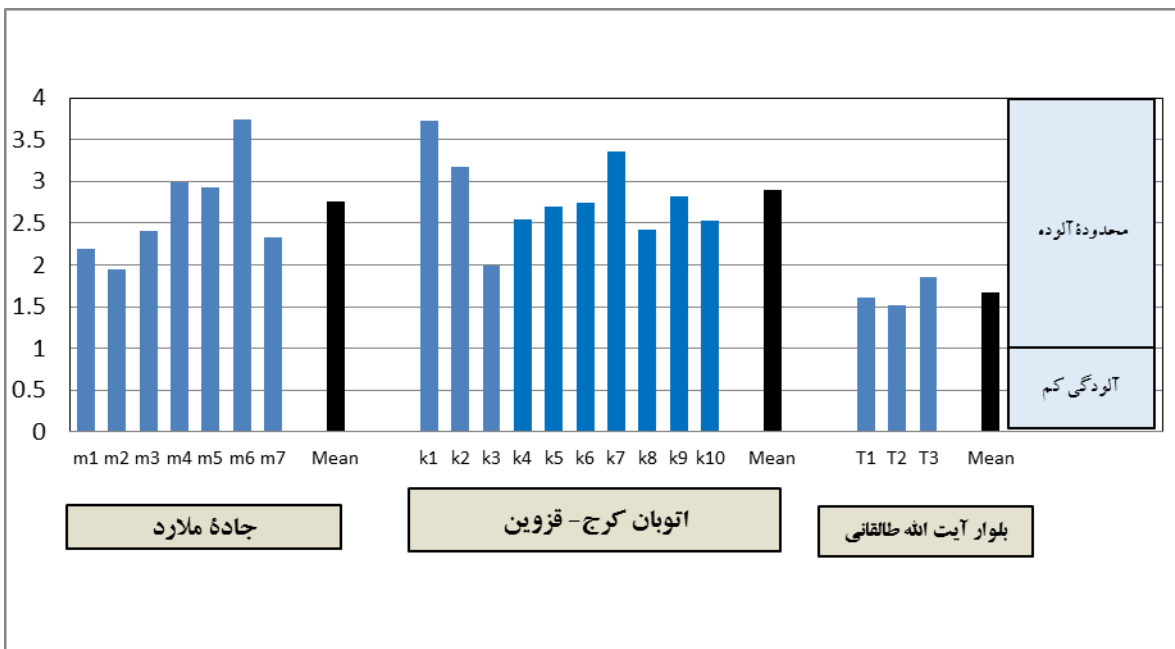
شکل ۲. مقایسه مقادیر شاخص زمین انباشتگی هر یک از عناصر در هر جاده



شکل ۳. مقایسه مقادیر فاکتور غنى شدگی هر یک از عناصر در هر جاده



شکل ۴. مقایسه مقادیر فاکتور آلودگی هر یک از عناصر در هر جاده



شکل ۵. مقایسه مقادیر شاخص بار آلودگی در هر ایستگاه

جدول ۴. سطوح آلودگی شاخص زمین انباشتگی

شاخص زمین انباشتگی	درجه آلودگی
>۰	غیرآلوده
-۱	غیرآلوده تا آلودگی متوسط
۱-۲	آلودگی متوسط
۲-۳	آلودگی متوسط تا قوی
۳-۴	آلودگی قوی
۴-۵	آلودگی بسیار قوی
>۵	شدیداً آلوده

(Lu, et al., 2009)

محاسبه مقادیر شاخص زمین انباشتگی (شکل ۲) نشان می‌دهد عناصر کروم و منگنز در هر سه جاده تحت بررسی از نظر شدت آلودگی غیرآلوده‌اند و عناصر مس، روی و سرب آلودگی متوسط تا قوی دارند. جاده کرج-قزوین برای سه عنصر اخیر بیشترین آلودگی را نشان می‌دهد. عنصر نیکل در جاده ملارد در محدوده غیرآلوده تا آلودگی متوسط قرار دارد و در دو جاده دیگر غیرآلوده است.

#### ۲.۴. شاخص زمین انباشتگی

مولر از اوخر دهه ۱۹۶۰ شاخص Igeo را معرفی کرده است (Muller, 1969) و از آن زمان تاکنون به طور گسترده در اروپا برای مطالعه روی فلزات سنگین استفاده می‌شود. شاخص Igeo با مقایسه غلظت‌های موجود با غلظت‌های قبل از صنعتی شدن برای ارزیابی آلودگی فلزات سنگین در خاک‌ها و غبار جاده‌های شهری استفاده می‌شود (Wei and Yang, 2010). شاخص Igeo از رابطه زیر محاسبه می‌شود.

$$Igeo = \log_2 ((Cn) \times 1 / 5Bn)$$

بر اساس شاخص زمین انباشتگی مولر، (Cn)(Igeo) غلظت در نمونه (خاک یا غبار) و Bn غلظت زمینه است. ضریب ۱/۵ به منظور کاهش تغییرات احتمالی در مقدار زمینه ناشی از ناپایداری‌های لیتولوژیک رسوبات اعمال شده است. Lu و همکارانش مقادیر شاخص زمین انباشتگی را مطابق جدول ۴ تفسیر کردند.

پایین به منزله عنصر مرجع در محاسبه فاکتور غنی شدگی استفاده شد. مقادیر حاصل از محاسبه این فاکتور (شکل ۳) نشان می‌دهند در سه جاده تحت بررسی، عناصر نیکل و کروم درجه غنی شدگی کم و عناصر مس، روی و سرب درجه غنی شدگی متوسط تا بالا دارند.

#### ۴.۴. فاکتور آلوودگی و شاخص بار آلوودگی

فاکتور آلوودگی و شاخص بار آلوودگی برای ارزیابی میزان آلوودگی فلزات سنگین در غبار جاده، همچنین فراهم آوردن معیاری برای تعیین درجه آلوودگی در طول جاده خاص استفاده می‌شود (Hakanson, 1980). پارامترهای فاکتور آلوودگی (CF) و شاخص بار آلوودگی (PLI) با روابط زیر محاسبه می‌شوند:

$$CF = C_{\text{metal}} / C_{\text{background}}$$

$$PLI = n \sqrt{(CF_1 \times CF_2 \times CF_3 \times \dots \times CF_n)}$$

غلهظت آلاینده در رسوب،  $C_{\text{metal}}$  مقدار

فلزات در زمینه (میانگین غلهظت در پوسته زمین) و  $n$  تعداد فلزات است. نتایج حاصل از روابط بالا در جدول‌های ۶ و ۷ نشان داده شده است.

شاخص بار آلوودگی ابزار مقایسه‌ای ساده برای ارزیابی کیفیت محل تحت بررسی است. شاخص PLI از سوی تامیلسون و همکارانش ارائه شد (Thomilson , et al., 1980).

جدول ۶. سطوح فاکتور آلوودگی

فاکتور آلوودگی	سطح آلوودگی
<1	آلوودگی کم
1 ≤ CF < 3	آلوودگی متوسط
3 ≤ CF ≤ 6	آلوودگی بالا
CF > 6	آلوودگی بسیار بالا

(Nasr, et al., 2006; Mmolawa, et al., 2011)

مقادیر فاکتور آلوودگی (شکل ۴) برای میانگین غلهظت عناصر در هر جاده محاسبه شد. عناصر منگنز، کروم و نیکل آلوودگی کم تا متوسط و عناصر مس، روی و سرب آلوودگی بالا تا بسیار بالا نشان می‌دهند.

#### ۳.۴. فاکتور غنی شدگی

فاکتور غنی شدگی از سوی پژوهشگران مختلف برای ارزیابی آلوودگی در بخش‌های مختلف زیست‌محیطی Lu, X., et al., 2009; Addo, et al., 2012; Loska, et al., 2003; Manno, et al., 2006; Al-Khashman, 2004 ارزیابی آلوودگی در نمونه‌های مختلف زیست‌محیطی به شرح زیر (Atiemo,et al., 2011) است:

$$EFX = [XS / ES (\text{ref})] / [XC / EC (\text{ref})]$$

در این فرمول EFX، فاکتور غنی شدگی عنصر X غلهظت عنصر مورد نظر در نمونه، ES(ref) غلهظت عنصر مرجع استفاده شده برای نرمالیزاسیون در نمونه، XC غلهظت عنصر مورد نظر در پوسته زمین و EC(ref) غلهظت عنصر مرجع استفاده شده برای نرمالیزاسیون در پوسته زمین است (Taylor and McLennan, 1985 and 1995) بر اساس میزان فاکتور غنی شدگی، ۵ سطح آلوودگی معین شده است (جدول ۵).

جدول ۵. سطوح فاکتور غنی شدگی

شاخص فاکتور غنی شدگی	درجه غنی شدگی
<۲	غنی شدگی کم
۲-۵	غنی شدگی متوسط
۵-۲۰	غنی شدگی بالا
۲۰-۴۰	غنی شدگی بسیار بالا
>۴۰	غنی شدگی شدیداً بالا

Loska, et al., 2003; Atiemo, et al., 2011; Addo, (et al., 2012).

فاکتور غنی شدگی فرمولی جهان شمول و ابزاری ساده و آسان برای ارزیابی درجه غنی شدگی و مقایسه آلوودگی‌های مختلف زیست‌محیطی است (Addo, et al., 2012). در محاسبه فاکتور غنی شدگی، عنصر مرجع می‌باید احتمال تغییرپذیری کمی داشته باشد. با محاسبه فاکتور غنی شدگی می‌توان ارزیابی کرد که عناصر موجود در نمونه زیست‌محیطی مورد نظر منشأ طبیعی دارند یا در نتیجه فعالیت‌های انسان به وجود آمده‌اند (Atiemo, et al., 2011). در این مقاله عنصر منگنز به علت تغییرات غلهظت

## جدول ۷. سطوح بار آلودگی

سطح بار آلودگی	شاخص بار آلودگی
شرایط مناسب	< ۱
وجود زمینه‌ای از آلاینده‌ها	= ۱
کیفیت نامناسب محل از نظر آلودگی	> ۱

(Thomilson , et al., 1980)

مقادیر شاخص بار آلودگی برای هر ایستگاه نمونه‌برداری محاسبه شدند (شکل ۵). نتایج نشان می‌دهد سطح بار آلودگی در کلیه ایستگاه‌های نمونه‌برداری و هر سه جاده در شرایط آلوده قرار دارد.

## ۵. بحث و نتیجه‌گیری

نتایج محاسبات ضریب زمین انباشتگی (شکل ۲)، فاکتور غنی‌شدگی (شکل ۳) و فاکتور آلودگی (شکل ۴) نشان می‌دهد میزان آلودگی غبار جاده به عناصر سرب، روی و مس در سطح متوسط تا قوی قرار دارد. این نتایج نشان می‌دهد که سه عنصر مذکور در نتیجه فعالیت‌های انسان به محیط وارد شده‌اند و منشأ طبیعی ندارند. عناصر نیکل و کروم در برخی ایستگاه‌های نمونه‌برداری آلودگی بالای نشان دادند، اما میانگین غلظت این دو عنصر بر اساس مقادیر شاخص‌های زمین انباشتگی و فاکتور غنی‌شدگی در همه جاده‌ها در محدوده غیرآلوده قرار گرفته است. بر اساس مقادیر فاکتور آلودگی نیز این دو عنصر آلودگی کم نشان می‌دهند به استثنای جاده ملارد که عنصر نیکل آلودگی متوسط نشان می‌دهد. عنصر منگنز نوسان غلطی پایینی نشان داده و از نظر شدت آلودگی غیرآلوده است. میانگین غلظت سرب در اتوبان کرج-قزوین بیش از سایرین بود که ناشی از تردد بالای خودروها در این اتوبان است. بالاترین میزان آلودگی سرب در اتوبان کرج-قزوین، ایستگاه k7 (خروجی گلشهر) و کمترین مقدار سرب نیز در بلوار آیت‌الله طالقانی، ایستگاه T1 (میدان کوه نور) اندازه‌گیری شد. با توجه به آنکه تغییر در مقدار سرب در غبار جاده‌ها غالباً مربوط به حجم ترافیک است Arslan, 2001; Fergusson, et al., 1980; Kartal, et al., )

جاده ملارد) محاسبه شد. در ایستگاه k1 افزایش میزان بار آلودگی فلزات سرب، مس و روی ناشی از حجم ترافیک و در ایستگاه m6 افزایش بار آلودگی فلزات نیکل و کروم ناشی از فعالیت صنعتی نیروگاه سبب افزایش میزان شاخص بار آلودگی شده است. با مقایسه میانگین بار آلودگی در سه جاده، بیشترین بار آلودگی در آزادراه کرج-قزوین و کمترین مقدار در بلوار آیت‌الله طالقانی مشاهده شده است.

با توجه به آنکه غبار جاده‌ها به راحتی در هوا منتشر و از این طریق به سیستم تنفسی وارد می‌شود، باید به آلودگی فلزات سنگین توجه ویژه شود.

نتایج حاصل از این تحقیق به مقادیر بالای آلودگی سرب در گرد و غبار سطح جاده‌ها تأکید می‌کند. بیشترین مقادیر فاکتور آلودگی، شاخص غنی‌شدگی و فاکتور زمین انباشتگی به عنصر سرب در آزادراه کرج-قزوین تعلق داشت. همچنین، با توجه به نتایج آنالیز، باید به منطقه اطراف نیروگاه از نظر آلودگی کروم و نیکل توجه بیشتری شود.

نیکل به طور میانگین در محدوده نمونه‌برداری جاده ملارد بالاتر از سایر جاده‌ها بود. در این جاده نمونه‌های اخذ شده از ایستگاه‌های m5 (قبل از نیروگاه)، m6 (نیروگاه) و m7 (بعد از نیروگاه) بیشترین مقدار نیکل و کروم را نشان (بعد از نیروگاه) می‌دانند که با افزایش فاصله از نیروگاه میزان غلظت این عناصر کاهش می‌یابد. با توجه به آنکه نیروگاه‌های تولید برق عامل مهمی در انتشار عناصر کروم و نیکل به هوا به شماره‌ی روند (EIP report, 2011) آلودگی مشاهده شده در نواحی اطراف نیروگاه، ناشی از انتشارات این واحد به هواست. در این جاده بیشترین میزان سرب در ایستگاه m4 (پیک) مشاهده شد که احتمالاً علت آن این است که ایستگاه مربوطه در مقابل واحد اگزوزسازی قرار دارد. به طور کلی میزان فاکتور آلودگی فلزات سرب، مس و روی در هر سه جاده در محدوده آلودگی بالا تا بسیار بالا قرار دارد. همچنین، شاخص بار آلودگی که با در نظر گرفتن کلیه مقادیر آلاینده برای هر ایستگاه محاسبه می‌شود نیز برای کلیه ایستگاه‌ها در سطح آلوده قرار گرفت. بیشترین مقدار شاخص بار آلودگی (PLI) در ایستگاه‌های k1 (بلکلاک در اتوبان کرج-قزوین) و m6 (مقابل نیروگاه در

## منابع

- Addo, M. A., Darko, E. O., Gordon, C., Nyarko, B. J. B. and Gbada go, J. K. 2012. Heavy Metal Concentrations in Road Deposited Dust at Ketu-South District, Ghana. International Journal of Science and Technology, Volume 2 No.1, 28-39
- ATSDR (Agency for Toxic Substance and Disease Registry). 2007. Toxicological Profile for Lead U.S. Department of Health and Humans Services, Public Health Humans Services, Centers for Diseases Control, Atlanta.
- Ahmed, F., and Ishiga, H. 2006. Trace metal concentrations in street dusts of Dhaka city , Bangladesh, Atmospheric Environment , 40 , 3835-3844.
- Al-Khashman, O. A. 2007. Determination of metal accumulation in deposited street dusts in Amman, Jordan. Environmental Geochemistry and Health, 29, (1), 1–10
- Al-Khashman, O. A. 2004. The investigation of metal concentrations in street dust samples in Aqaba City , Jordan. Environmental, Geochemical and Health, 29, 197-207
- Amato, F., Pandolfi, M., Viana, M., Querol, X., Alastuey, A. and Moreno, T. 2009. Spatial and chemical patterns of PM10 in road dust deposited in urban environment. Atmospheric Environment, 43, 1650–1659.
- Andersen, I., and Svenes, K. B. 1989. Determination of nickel in lung specimens of thirty-nine autopsied nickel workers. Int Arch Occup Environ Health, 61 , 289-95.
- Arslan, H., and Gizir, A. M. 2004. Monitoring of heavy metal pollution of traffic origin in Adana. Fresen. Environ. Bull, 13, 4, 361-365.

Arslan, H., and Gizir, A. M. 2006. Heavy metal content of roadside soil in Mersin, Turkey. *Fresenius Environmental Bulletin*, Vol 15, No 1, 15-20

Arslan, H. 2001. Investigation of heavy metal pollution of traffic in Kemalpasa-Turkey. *Fresenius Environ. Bull.*, 10, 405-408.

Atiemo, M. S., Ofosu, G. F., Kuranchie-Mensah, H., Tutu, O. S., Linda Palmer, N.D.M. and Blakson, S. A. 2011. Contamination Assessment of Heavy Metals in Road Dust from Selected Roads in Accra, Ghana. *Research Journal of Environmental and Earth Sciences*, 3, 5, 473-480

Banerjee, A. D. K. 2003. Heavy metal levels and solid phase speciation in street dusts of Delhi, India. *Environmental Pollution*, 123, 95-105

Banks, E. C., Ferretti, L. E. and Shucard, D. W. 1997. Effects of low-level lead exposure on cognitive function in children: A review of behavioral, neuropsychological and biological evidence. *Neurotoxicology*, 18, 237-81.

Banerjee, A. D. K. 2003. Heavy Metal Levels and Solid Phase Speciation in Street Dust of Delhi, India. *Environmental Pollution*, 123:95-105.

Bhargava, A. K., Gupta, R., Bhargava, S. and Paridhi, P. 2003. Effect of automobile exhaust on total N, P and heavy metals of road side sugarcane at district Saharanpur. *Agric Plant Science*, 16, 557-560

Binggan, W., and Linsheng, Y. 2010. A review of heavy metal contaminations in urban soils, urban road dusts and agricultural soils from China, *Microchemical Journal* 94, 99-107

Bleiwas, D. I. 2006. Stocks and flows of lead-based wheel weights in the United States: U.S. Geological Survey Open-File Report 2006-1111, 6 p.

Chang, L. W. 1996. *Toxicology of Metals*. CRC Lewis Publishers, Boca Raton, FL, USA

Chen, T. B., Wong, J. W. C., Zhou, H. Y. and Wong, M. H. 1997. Assessment of trace metal distribution in surface soils of Hong Kong. *Environmental Pollution*, Vol. 96, No. 1, 61-68

Chatterjee, A., and Banerjee, R. N. 1999. In: Al-Momani, I. F. 2009. Assessment of trace metal distribution and contamination in surface soils of Amman, Jordan, *Jordan J. Chem.*, 4 (1), 77-87

De Miguel, E., Llamas, J. F., Chacon, E., Berg, T., Reyset, S., Larssen, O. and Vadset, M. 1997. Origin and patterns of distribution of trace elements in street dust: unloaded petrol and urban lead. *Atmos Environ*, 31, 2733-2740

Domingo, J. L. 1994. Metal-induced developmental toxicity in mammals: a review. *J Toxicological Environment and Health*, 42, 123-141

EIP report. 2011. Pennsylvania, Ohio, Indiana, Kentucky and Texas are Top States in Terms of Toxic Power Plant Air Pollution, [www.environmentalintegrity.org](http://www.environmentalintegrity.org) > News & Reports

Faiz, Y., Tufail, M., Javed, M. T., Chaudhry, M. M. and Siddique, N. 2009. Road dust pollution of Cd, Cu, Ni, Pb and Zn along Islamabad Expressway, Pakistan. *Microchemical Journal*. 92, 186-192

Fergusson, J. E., and Kim, N. D. 1991. Trace elements in street and house dusts: sources and speciation. *Sci. Total Environ.*, 100, 125-150.

Fergusson, J. E., Hayes, R. W., Young, T. S. and Thief, S. H. 1980. Heavy metal pollution by traffic in Christchurch, New Zealand, lead and cadmium content of dust, soil and plant samples. *New Zealand J. Sci.*, 23, 293-310.

Fergusson, J. E., Forbes, E. A., Schroeder, R. J. and Ryan, D. E. 1986. In: Al-Momani, I. F. 2009. Assessment of trace metal distribution and contamination in surface soils of Amman, Jordan, *Jordan J. Chem.*, 4 (1), 77-87

Hakanson, L. 1980. Ecological risk index for aquatic pollution control. A sedimentological approach. *Water Res*, 14, 5, 975-1001

Kartal, S., Elci, L. and Dogan, M. 1992. Investigation of lead, nickel, cadmium and zinc pollution of traffic in Kayseri. *Fresen. Environ. Bull.*, 1, 28-33.

Kollmeier, H., Seemann, J. W. and Muller, K. M. 1987. Increased chromium and nickel content in lung tissue and bronchial carcinoma. *Am J Ind Med*, 11, 659-69.

Li, X., Poon, C. S. and Lin, P. S. 2001. Heavy metal contamination of urban soils and street dust in Hong Kong. *Applied Geochemistry*, 16, 1361-1368

Loska, K., Wiechula, D., Barska, B., Cebula, E. and Chojnecka, A. 2003. Assessment of arsenic enrichment of cultivated soils in Southern Poland. *Pol. J. Environ. Stud.*, 12 (2), 187–192

Lu, X., Wang, I., Lei, k., Huaing, J. and Zhai, Y. 2009. Contamination assessment of copper, Lead, Zinc, Manganese and Nickel in street dust of Boaji, N. W.china. *J hazardous Materials*, 161, 1058-1062

Malkoç, S., Yazıcı, B., Altan , M. and Koparal, A.S. 2010. Street dust pollution of some metals along Eskisehir urban roads, Turkey, ICENV, Malezya-Penang, 13-15

Manno, E., Varrica, D. and Dongarrá , G. 2006. Metal distribution in road dust samples collected in an urban area close to a petrochemical plant at Gela, Sicily. *Atmos Environ*, 40, 5929-5941

Martin, S., and Griswold, W. 2009. Human Health Effects of Heavy Metals, Issue 15, <https://www.engg.ksu.edu/CHSR/outreach/resources/>

Mmolawa, K. B., Likuku, A. S. and Gabouloeloe, G. K. 2011. Assessment of heavy metal pollution in soils along major roadside areas in otswana. *African J. Environmental Science and Technology*, Vol. 5, 3, pp. 186-196

Muller, G. 1969. Index of geo-accumulation in sediments of the Rhine River. *Geojournal* , 2, 108–118.

Narin, I., and Soy lak, M. 1999. Monitoring trace metal levels in Nigde, Turkey: nickel, copper, manganese, cadmium and cobalt contents of the street dust samples. *Trace Elements and Electrolytes*, 16, 2, 99-103.

Nasr, S. M., Okbah, M. A. and Kasem, S. M. 2006. Environmental Assessment of Heavy Metal Pollution in ottom Sediment of Aden Port, Yemen. *Int. J. of Ocean & Oceanography*, Vol. 1,1, 99-109

Ordóñez, A., Loredo, J., De Miguel, E. and Charlesworth, S. 2003. Distribution of heavy metals in street dust and soils of an industrial city in Northern Spain. *Archives of Environmental Contamination and Toxicology*, 44: 160–170.

Patel, K. S., Shukla, A., Tripathi, A. N. and Hoffman, P. 2001. Heavy metal concentrations of precipitation in east Madhya Pradesh of India. *Water, Air and Soil Pollution*, 130, 463-468

Raiheli, H. J., Schaller, K. H., Reith, A., Svenes, K. B. and Valentin, H. 1988. Investigations on the quantitative determination of nickel and chromium in human lung tissue industrial medical toxicological and occupational medical expertise aspects. *Int Arch Occup Environ Health*, 60 , 55-66.

Rasmussen, P. E., Subramanian, K. S. and Jessiman, K. S. 2001. A multi-elemental profile of house dust in relation to exterior dust and soils in the city of Ottawa, Canana, *Sci Total Environ*, 267, 125-140

Ritter, C. J., and Rinefierd, S. M. 1983. Natural background and pollution levels of some heavy metals in soils from the area of Dayton, OH. *Environmental geology*, 5, 73-78

Root, R. A. 2000. Lead Loading of Urban Streets by Motor Vehicle Wheel Weights, *Environmental Health Perspectives*, Vol. 108, No. 10

Sezgin, N., Ozcan, H. K., Demir, G., Nemlioglu, S. and Bayat, C . 2003. Determination of heavy metal concentrations in street dusts in Istanbul E-5 highway. *Environment International*,Vol. 29, No. 7, pp. 979-985.

Shinggu, D. Y., Ogugbuaja, V. O., Toma, I. and barminas, J. T. 2010. Determination of heavy metals in street dust in Yola, Nigeria. *African journal of Pure and Applied Chemistry*, Vol. 4 (1), 17-21

Shi, G., Chen, S., Xu, S., Zhang, J., Wang, C. and Bi, J. 2008. Potentially toxic metal contamination of urban soils and roadside dust in Shanghai, China, *Environmental Potential*, 156, 251-260

Smichowski, P., Gómez, D. R., Fazzoli, C. and Caroli, S. 2008. Traffic-related elements in airborne particulate matter, *Appl. Spectros. Rev.*, 43, 23-49.

Taylor, S. R., and McLennan, S.M. 1985. *The Continental Crust: Its Composition and Evolution*, Blackwell Scientific Publications, Oxford.

Taylor, S. R., and McLennan, S. M. 1995. The geochemical evolution of the continental crust. *Rev. Geophys*, 33, 241–265.

Thomilson, D. C., Wilson, D. J ., Harris, C. R. and Jeffrey, D. W . 1980. Problem in heavy metals in estuaries and the formation of pollution index. *Helgol Wiss Meeresuntler*, 33,1-4, 566–575.

Turer, D. 2005. Effect of non-vehicular sources on heavy metal concentrations of roadside soils. *Water, Air, soil pollution*, 166, 251-264

Wei, B., and Yang, L. 2010. A review of heavy metal contaminations in urban soils , urban road dusts and agricultural soils from China. Microchemical Journal, 94, 99–107

Yongming, H., Peixuan, D. and Junji, E. S. 2006. Multivariate analysis of heavy metal contamination in urban dusts of Xi'an, Central China. Science of the Total Environment, 355, 176-186

Yeung, Z. L. L., Kwok, R. C. W. and Yu, K. N. 2003. A multi-elemental profile of street dust using energy dispersion XRF”, Appl Radiat Isot , 58, 339-346